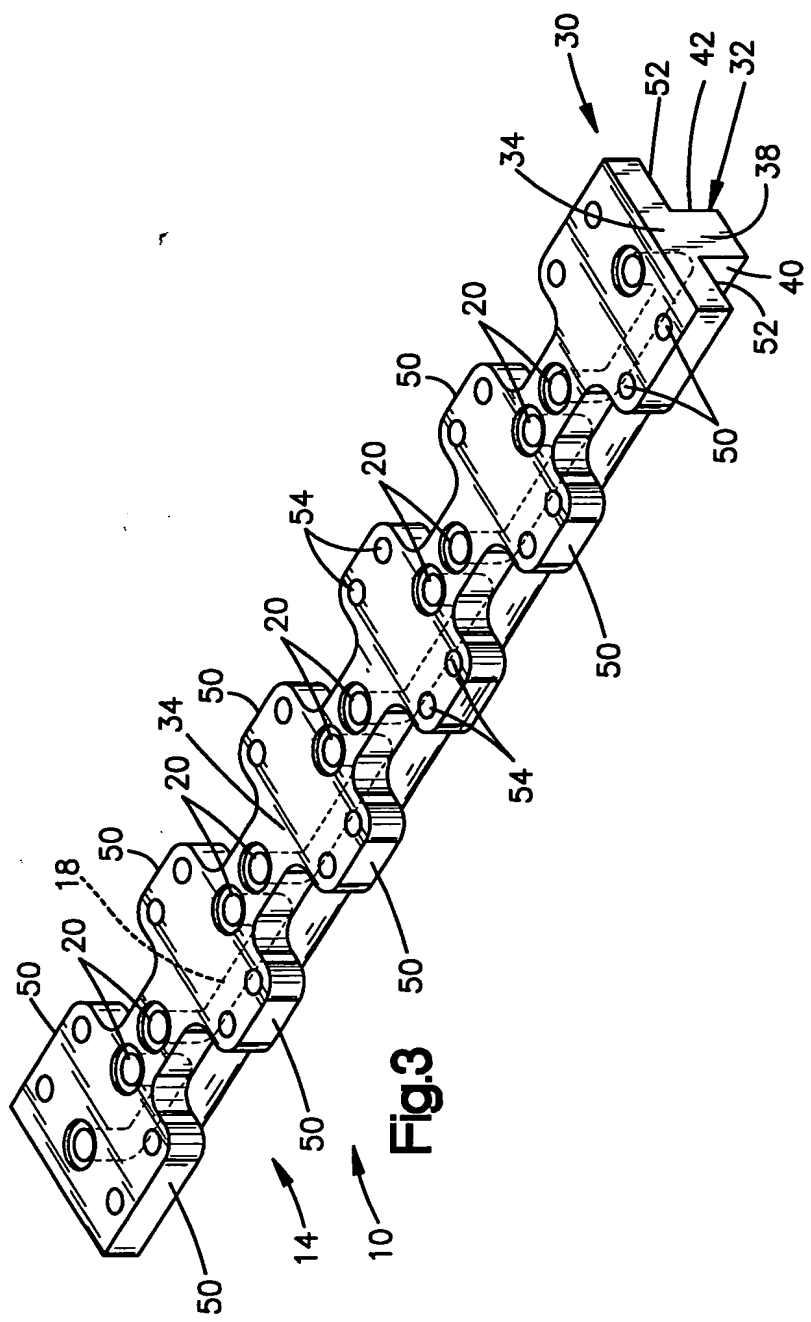
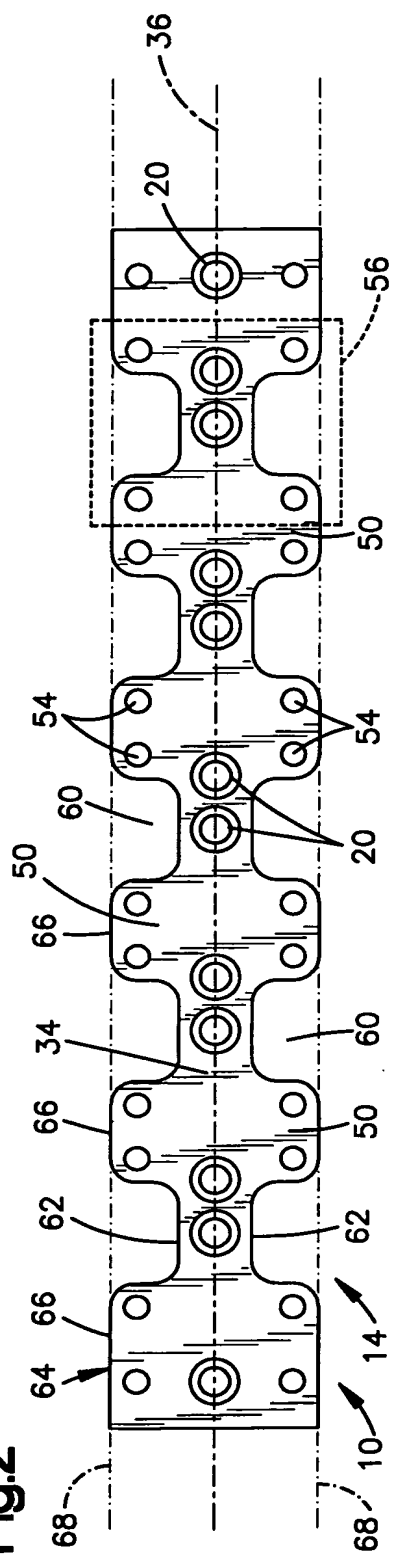


101



3
Fig



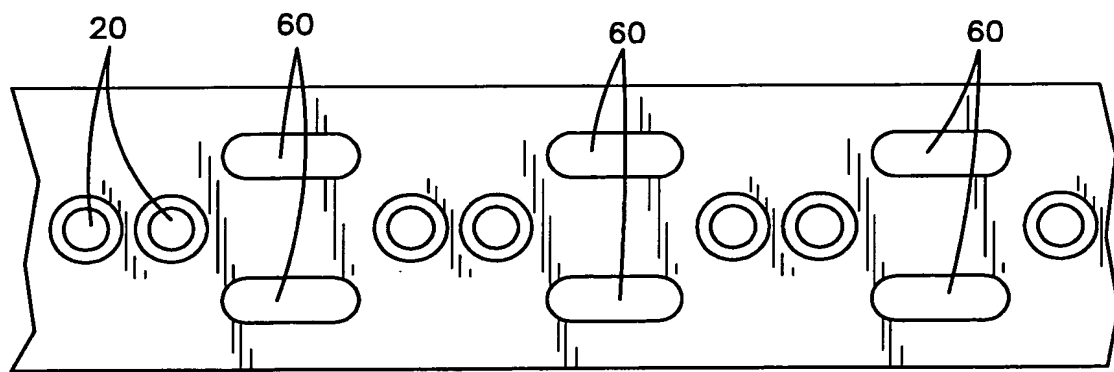
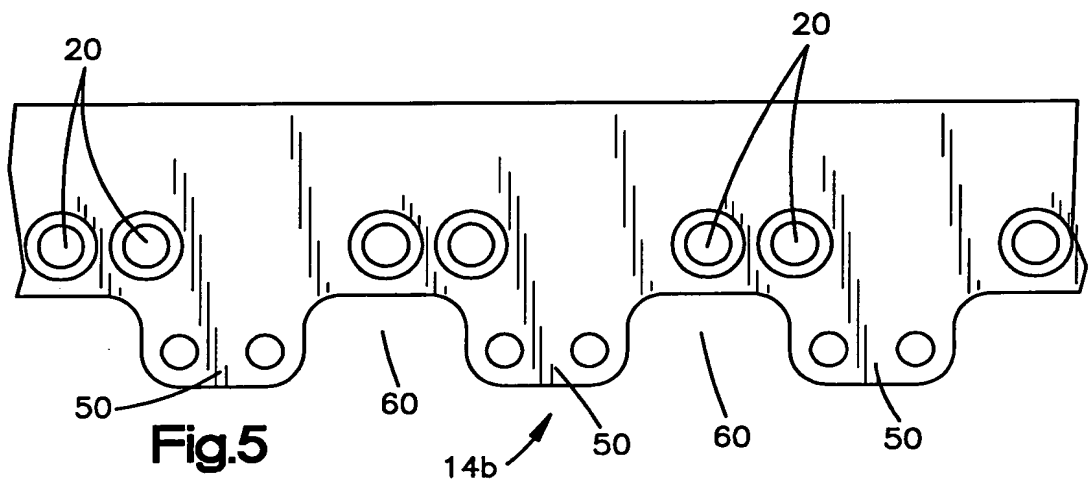
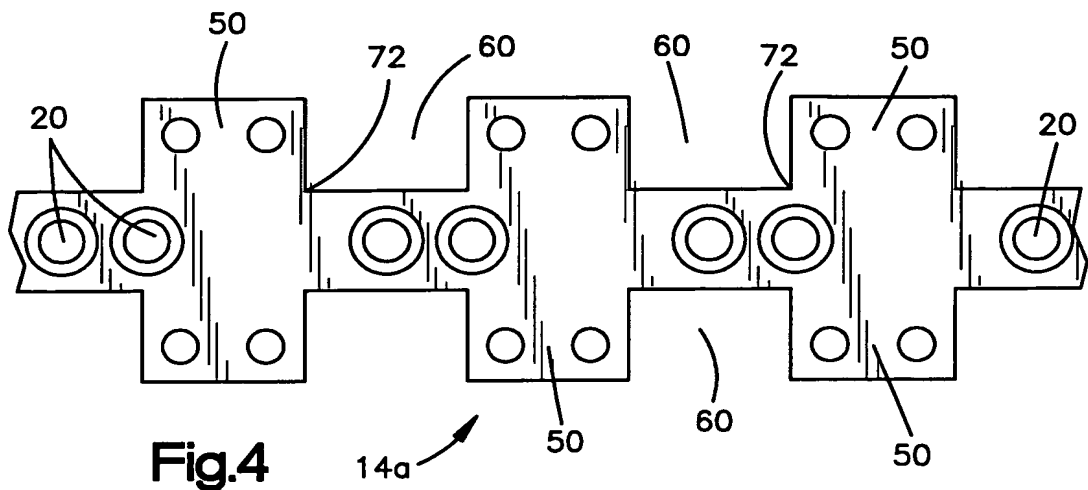


Fig.6

14c

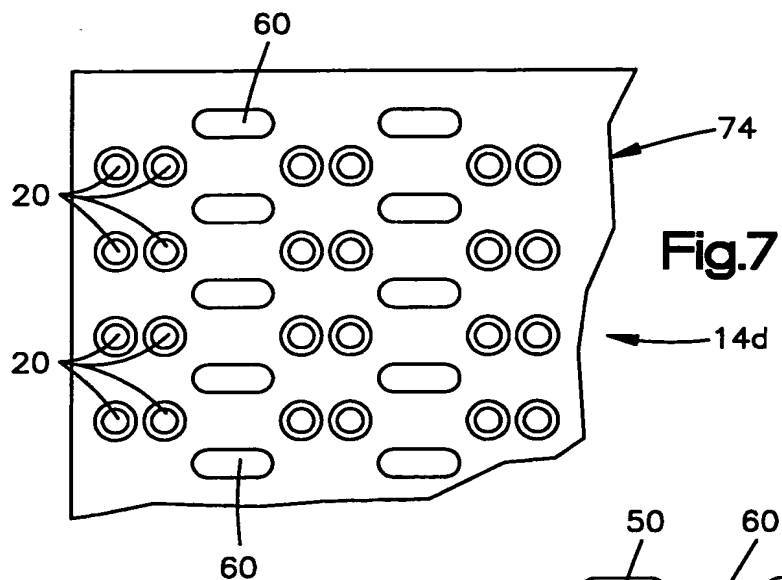


Fig.7

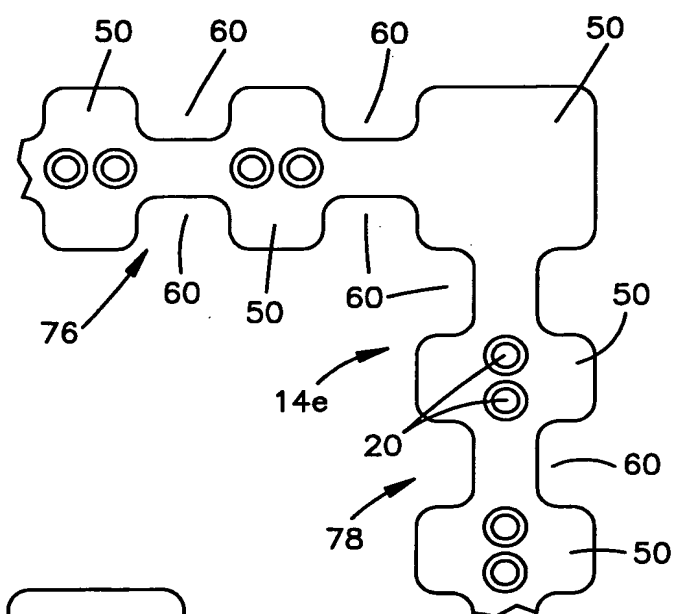


Fig.8

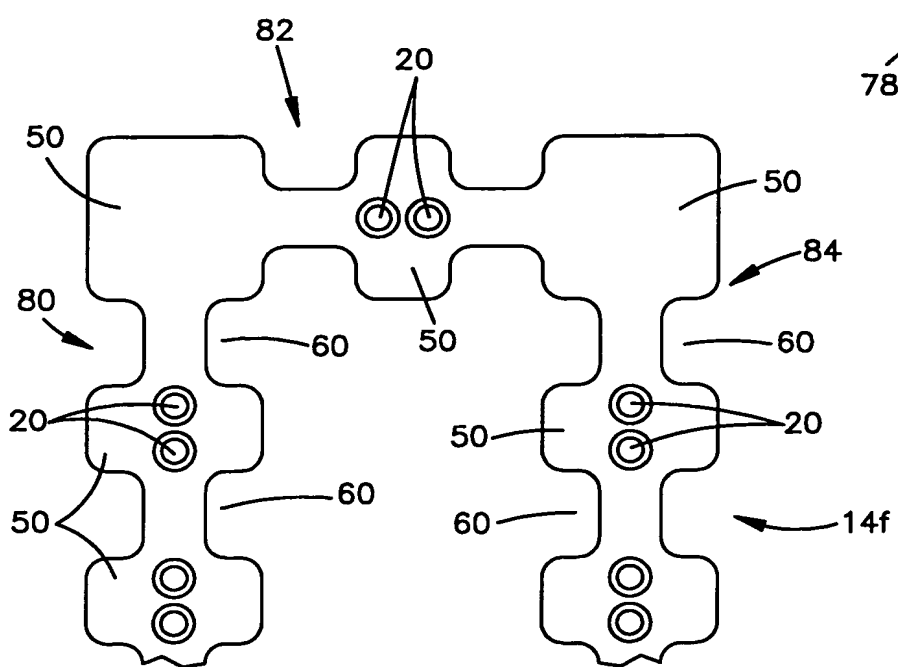
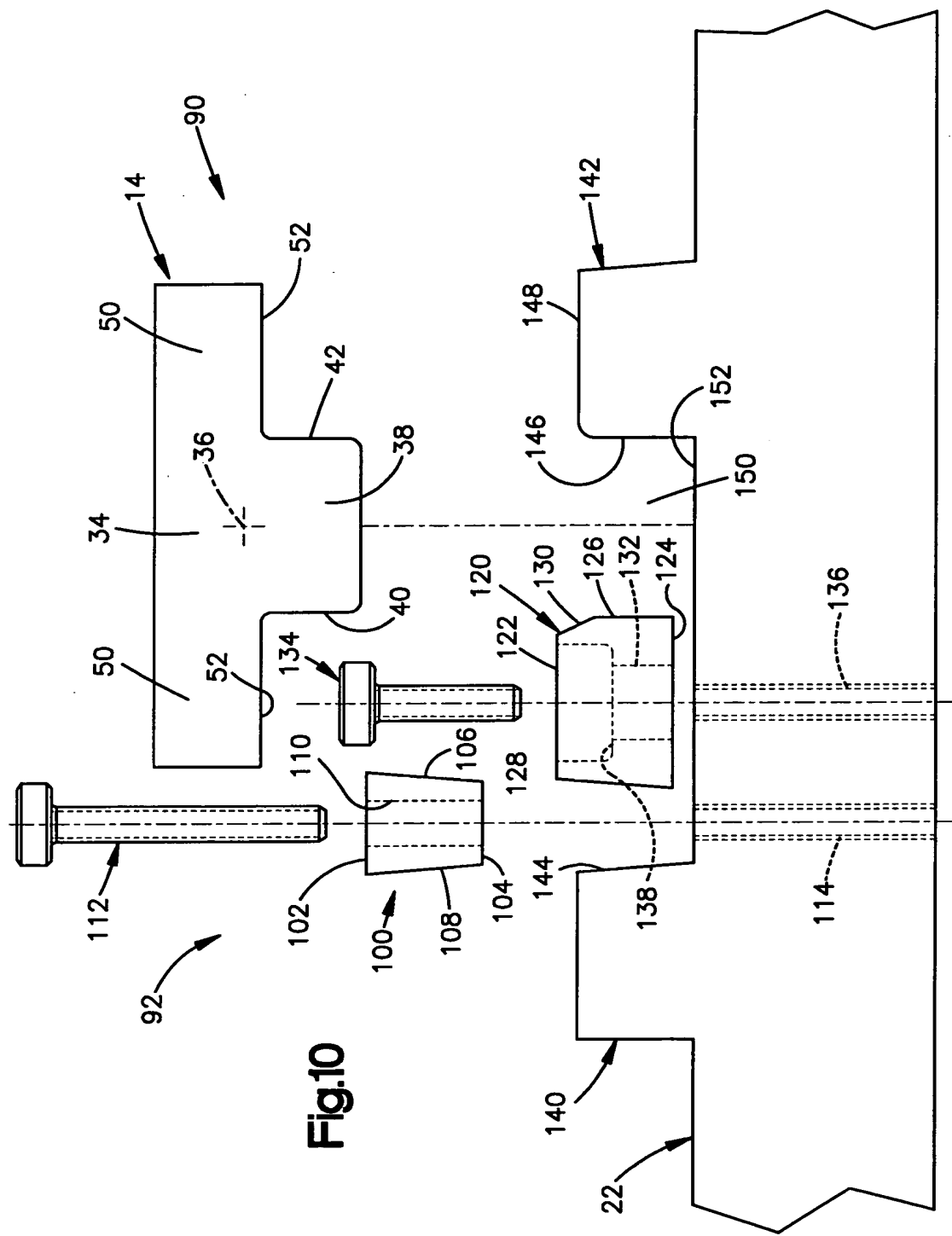


Fig.9



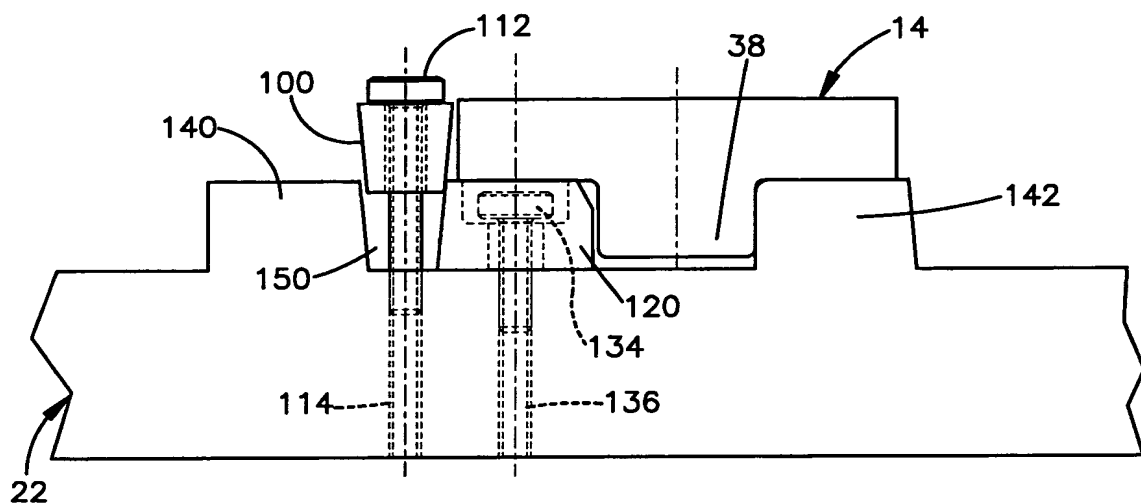


Fig.11

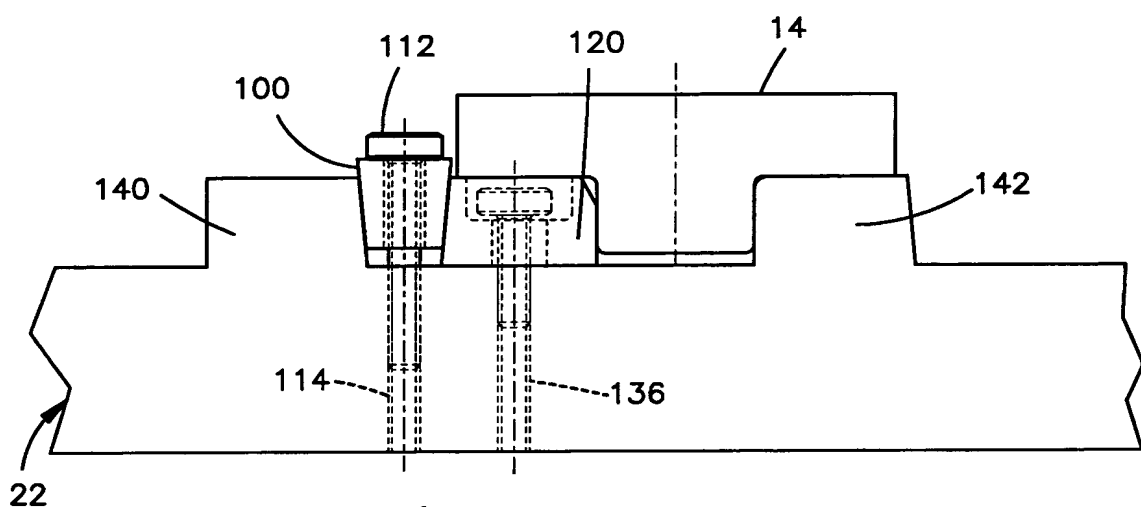


Fig.12

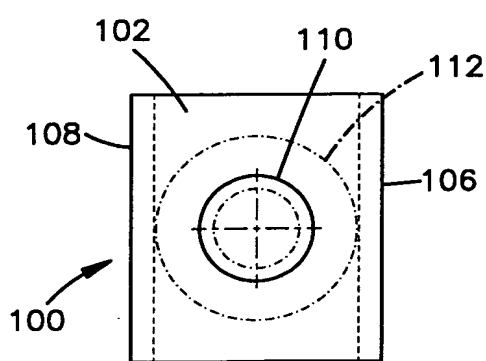


Fig.13

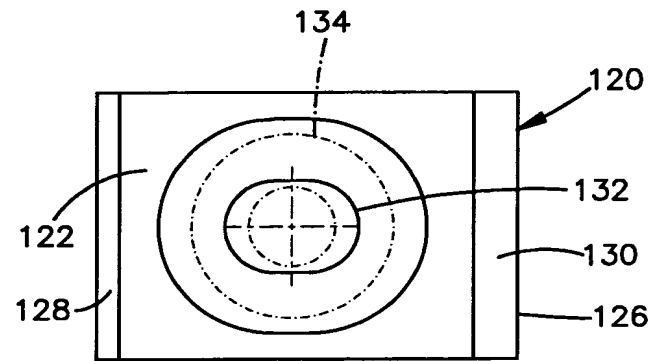
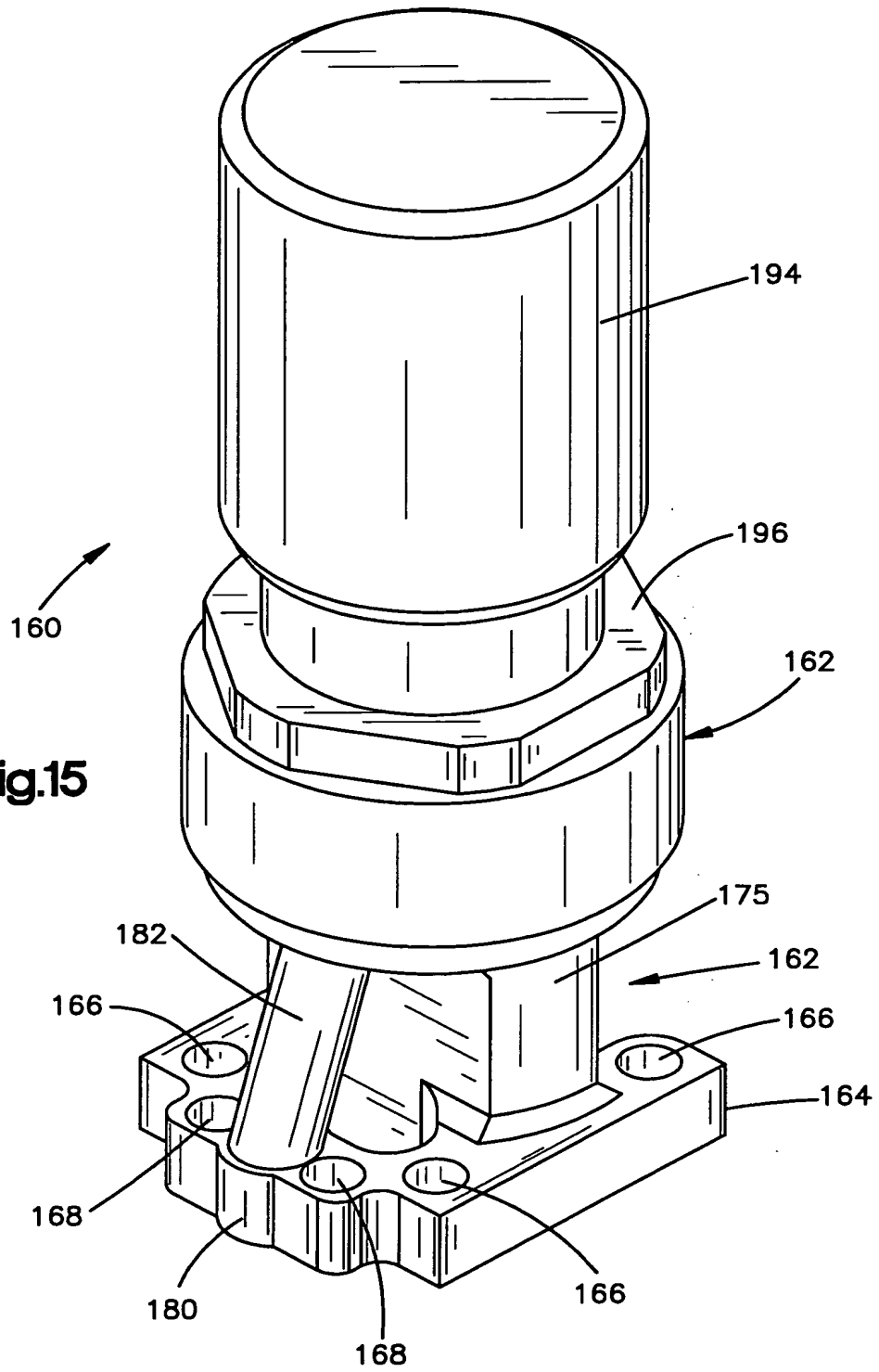
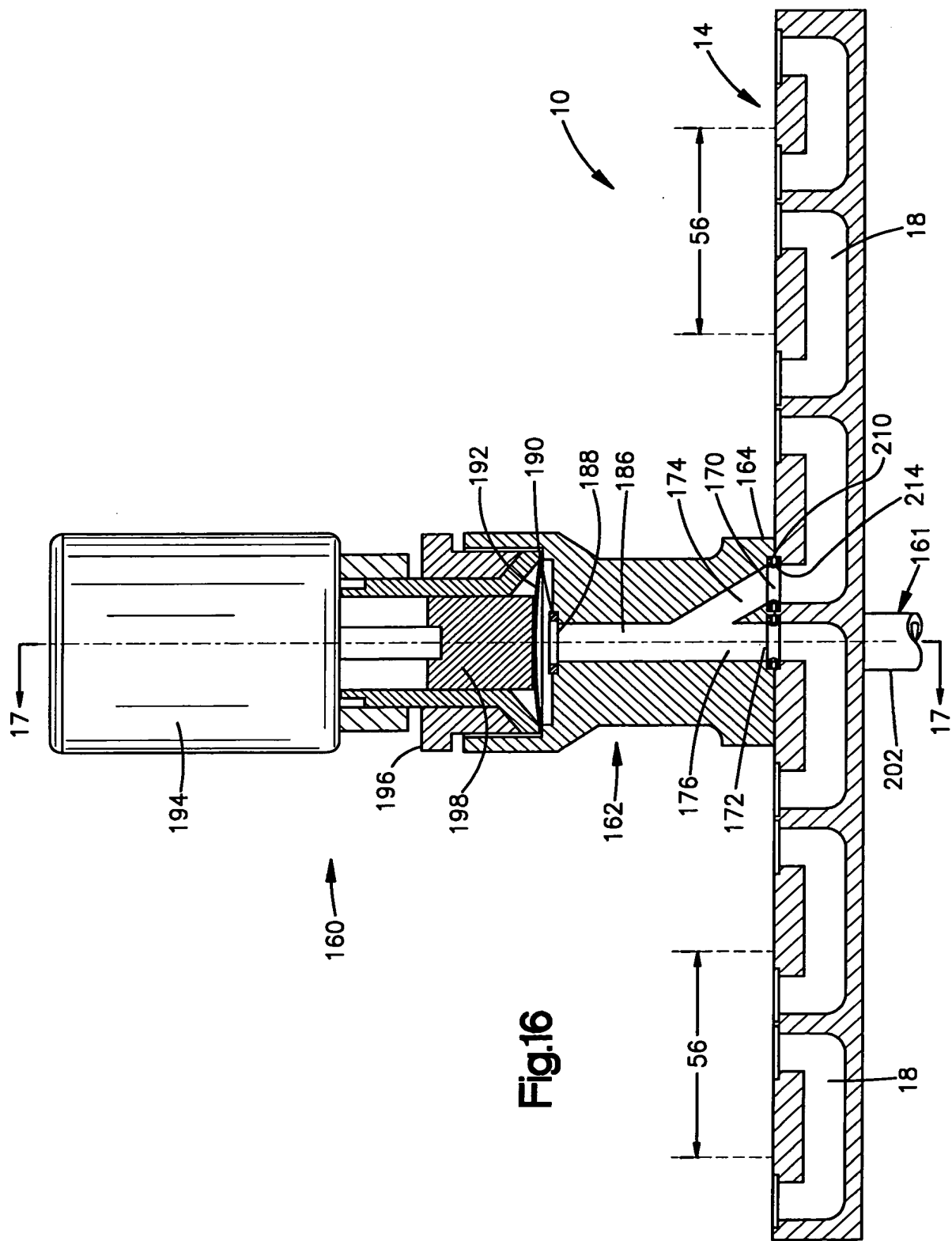


Fig.14

Fig.15





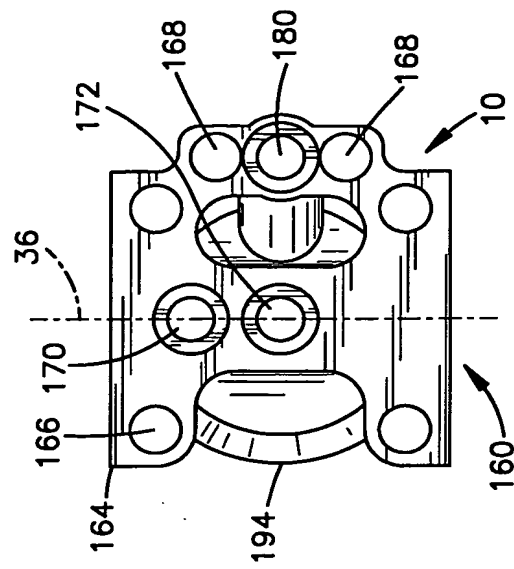


Fig.18

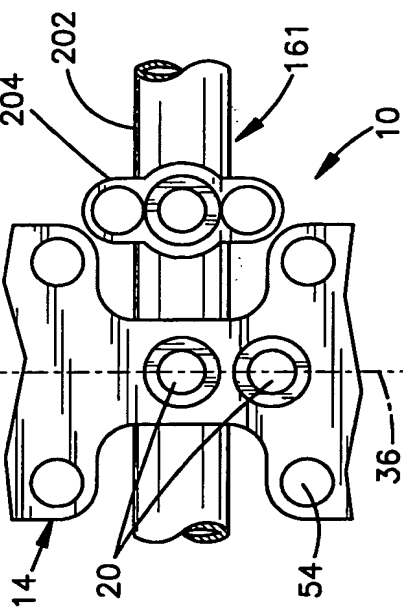


Fig.19

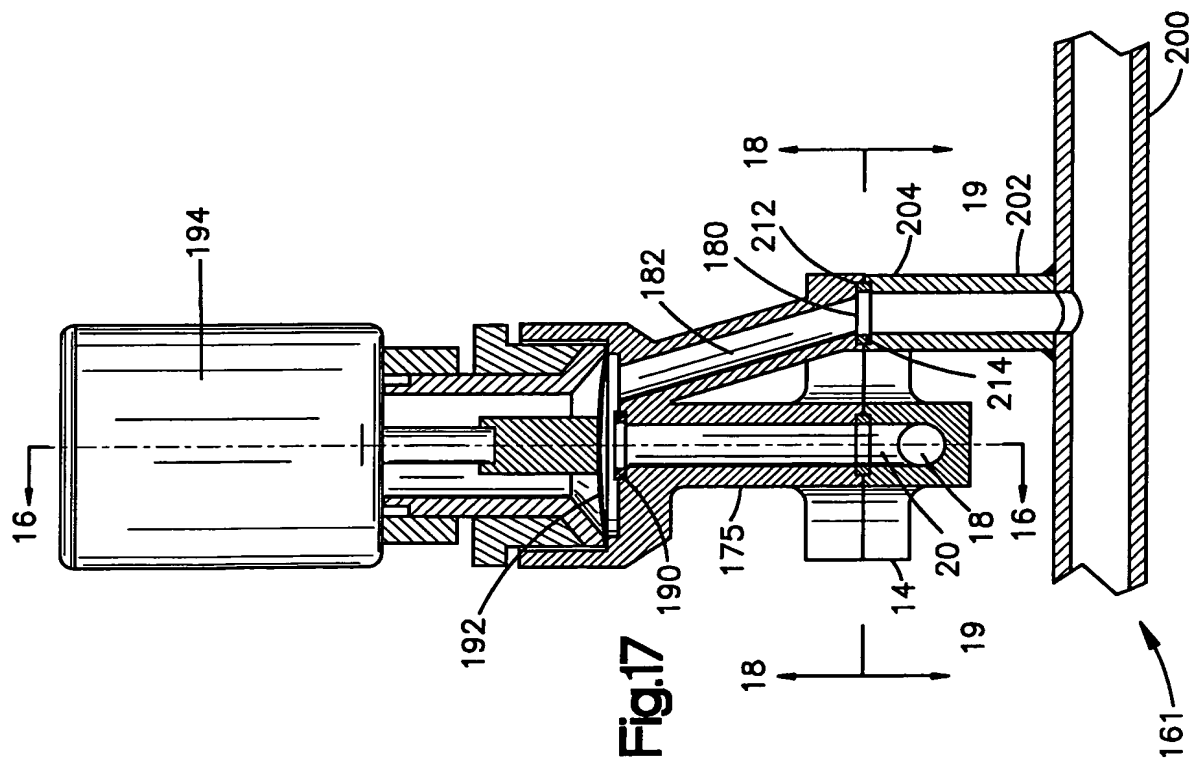


Fig.17

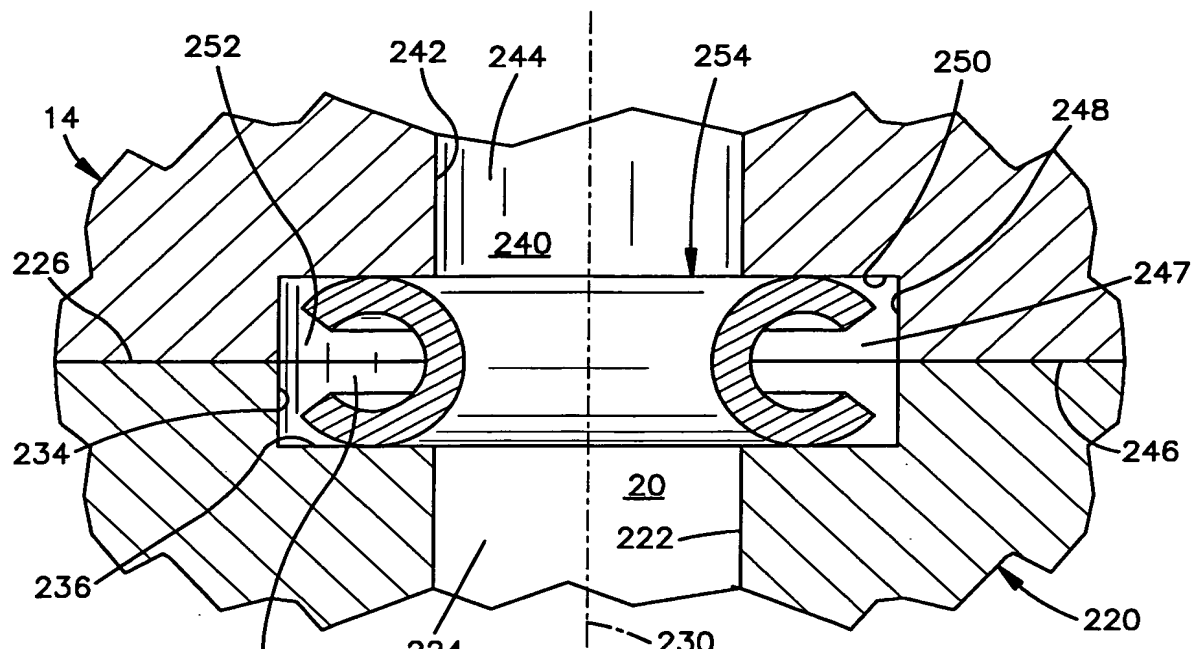


Fig.20

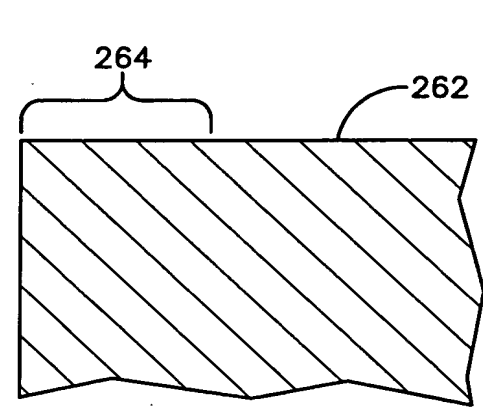


Fig.21

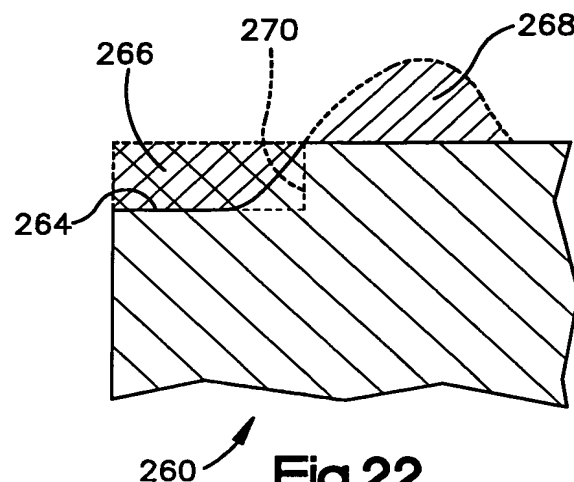


Fig.22

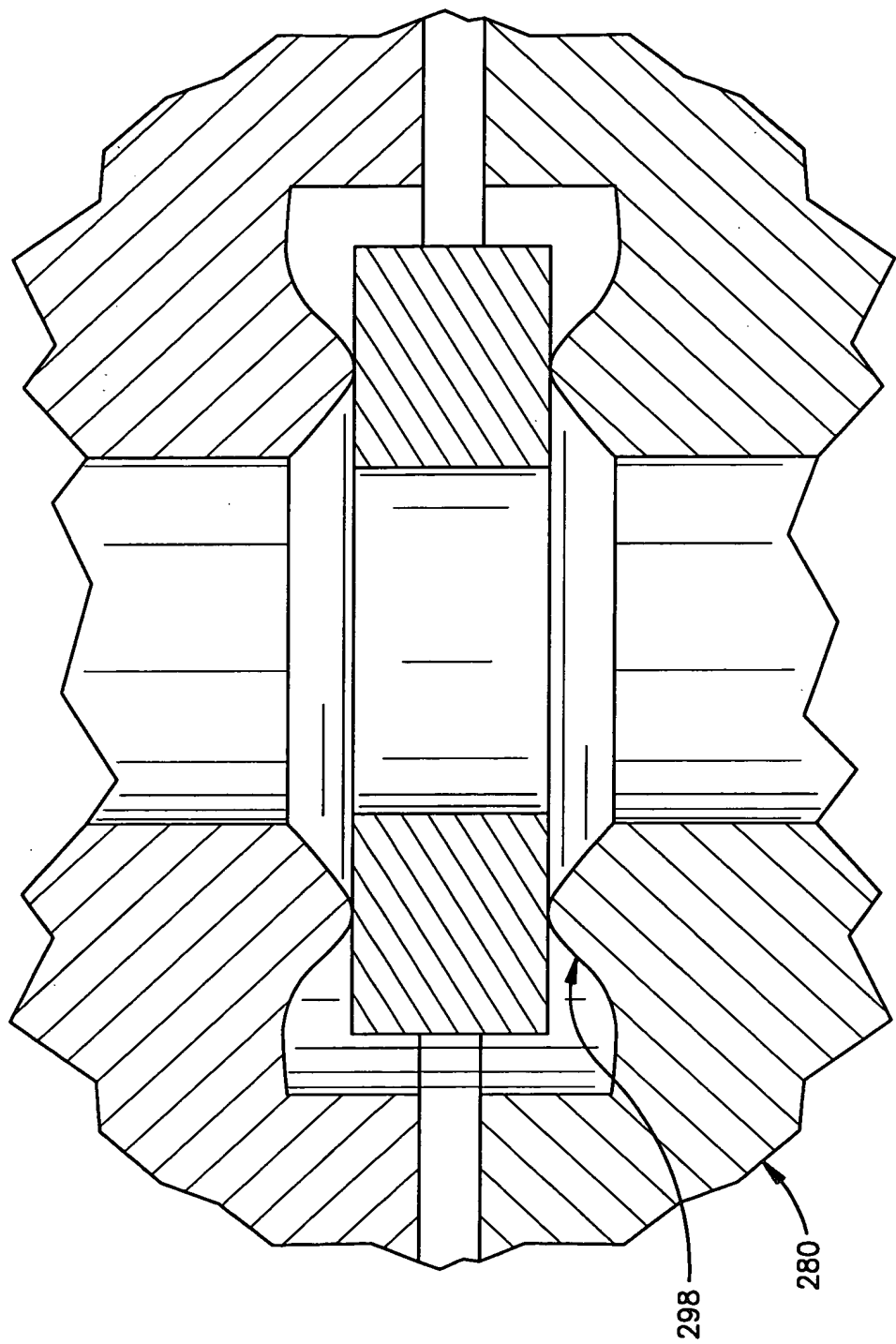


Fig.23

298

280

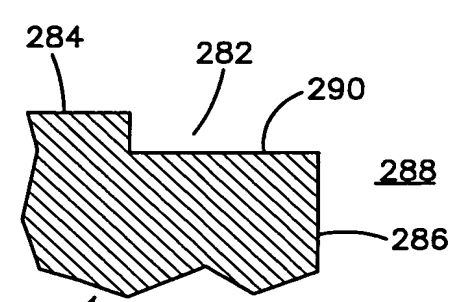


Fig.24

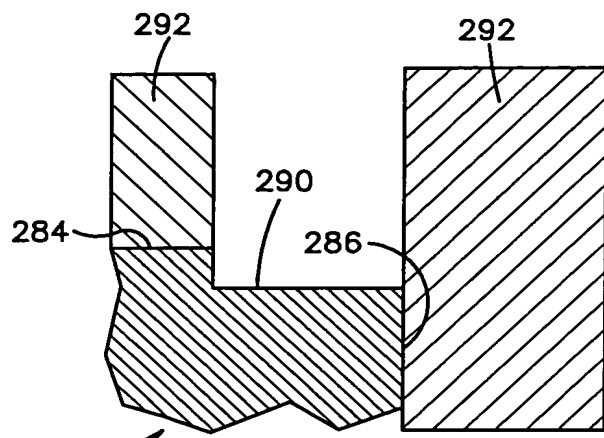


Fig.25

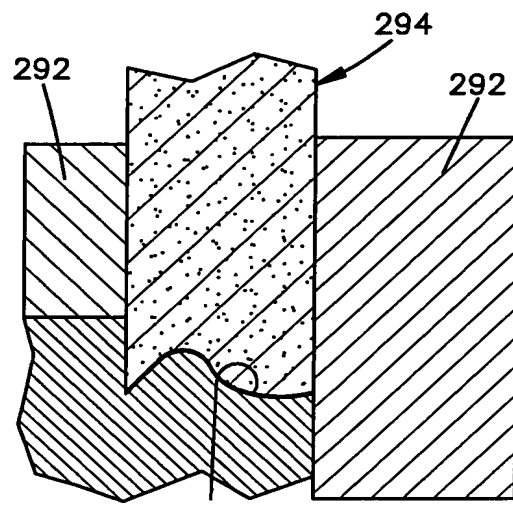


Fig.26

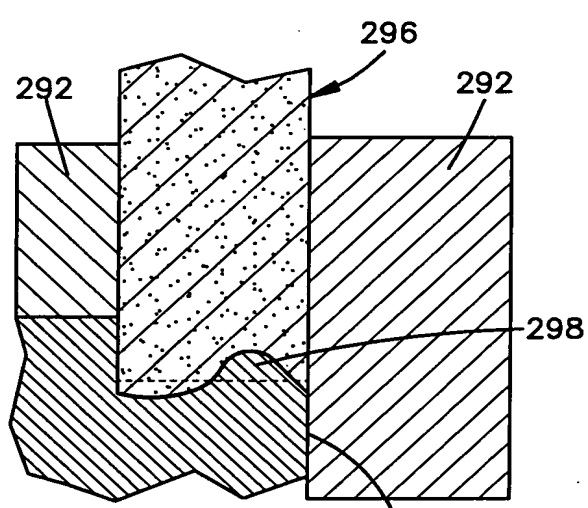


Fig.27

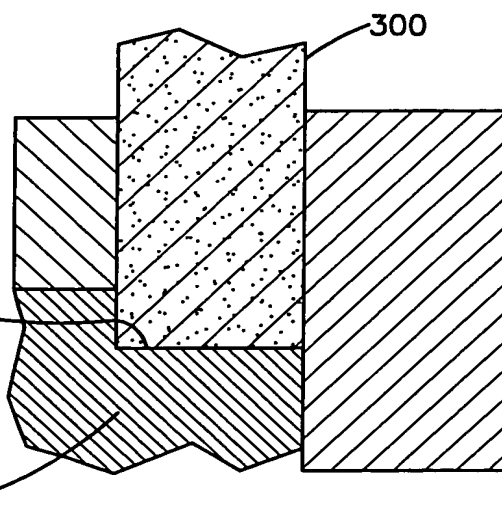


Fig.28